

地盤凍結の理論と実際

京都大学 正員 村山 朔郎
 東京都 正員 岡本 隆三
 ハセガワ
 ハセガワ
 ○正員 伊藤 良行
 精研冷機KK正員 高志 勤

(まえがき)

東京都営地下鉄1号線金杉工区に於いて、古川河底の横過を凍結工法にて施工しているが、地下鉄工事(以後本工事と記す)の着手前に現地にて深廻の試験凍結を行い種々の実験を実施した。この資料を基にして本工事を進めており、現在一部の構築をしている。本文では金杉附近の地盤凍結速度、温度分布等について記述する。

(試験凍結について)

試験方法 図-1の様に長さ20mの凍結管($\phi 1060$)を地中に埋込み、この中に -20 ± 1 ℃の塩化カルシウムブラインを循環させ、各深度に埋込んであるサーミスターにより地中温度等の変化を測定した。凍結管の傾斜は14~03%であった。測温管については確認出来なかつた。

測定結果及び考察

凍結前の地中温度は図-2の様な分布をしており、一般的な地中温度の分布とかなり異なっている。温度の降下状況、温度分布、凍結の進行状況についての測定結果は図-2~図-6のとおりである。

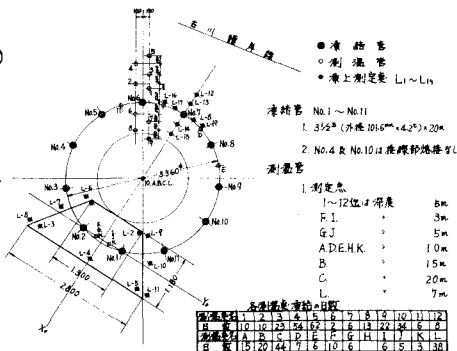


図-1 深廻配管平面図

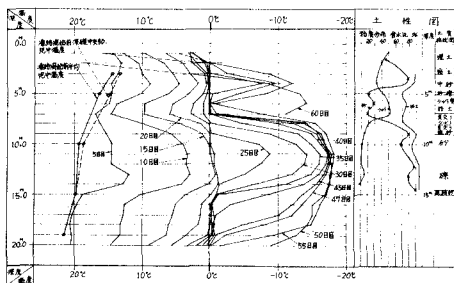


図-2 中央深度別温度降下図

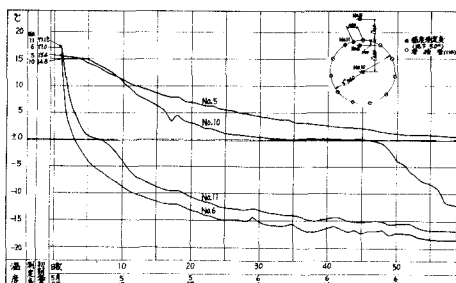


図-3 温度降下図

凍結速度について、深度5Mの位置に埋込んである測温点を凍結管部の内方向、外方向の二つに分けて考える。各測定点の凍結管からの距離を横軸に、温度を縦軸にとって地中温度勾配を求める。この温度勾配から曲線が0との線と交わる点を凍結面の位置とした。この様にして求めたのが、図-4の実測値である。理論値についての求め方は次の様にした。単管の場合は下記式から求まる。

$$k\theta_e \left[\frac{\partial F(k_1, a; r, t)}{\partial r} \right]_{r=R} + k_2 \theta_\infty \left[\frac{\partial F(k_2, a; r, t)}{\partial r} \right]_{r=R}$$

$$= L P_1 \left[\frac{\partial F(k_1, a; r, t)}{\partial r} \right]_{r=R}$$

(高志著、土壤凍結工法より引用)

これに、凍結管相互の干渉を次の様に考慮して求めたものが図-4の理論曲線である。まづ内方向については凍結管が960%の間隔で並んでおり、互いに他の1本に影響を与えるとする。このとき、凍結方向は凍結管の中心線を結ぶ線上にあるが、内方向もほぼ等しい(Lord Kelvinの線熱源干涉理論、Carlslaw, Jaeger Heat Conductionより)ことが説明出来る。(厳密には等しくない)。単管の場合無限遠点の地中温度 $\theta_\infty = 18^\circ\text{C}$ として凍結面を求めていくが、 θ_∞ が他の1本の影響により何度か下り、そのため凍結速度がはやくなるものとした。又外方向については、3360%の間隔で2本の凍結管が並んでいるものと考えた。図-4をみると、内方向、外方向ともいづれも実測の結果は理論値を大きく上回っている。単管の理論値に対する割合が図-4の干渉率曲線である。干渉を考慮した値と比較してみると、内、外方向の増加割合は20日目で内方向は約1.5、外方向は約1.7倍となっている。内方向の凍結進行が20日目以降更に速くなっているのは、凍結が進むにつれ、未凍結域の直徑が小さくなり、相互干渉が増したためであろう。干渉を考慮した理論値に対し、外方向の増加の割合が内方向のそれに比べ大きく出ているが、凍結管が3360%間隔で並んでいるものとして求めたのに対し、実際には、960%離れた處にも凍結管があり、これら隣接凍結管の影響が大きく影響しているためと思われる。

地中温度分布について、深度5Mに埋込んだ測温点の測定結果を図-5、6に示す。又 $\theta_\infty = 18^\circ\text{C}$, $P = 0.6$ として求めた理論値と、実測の結果の温度分布を図-7に示す。これからも温度の降下が理論値よりも早く進んでいることがわかる。内方向をみると、9日の温度分布は、理論値の36日の温度分布となる。外方向では、9日までは理論値と全く合致しているが、36日の温度分布は、理論値の73日以降の温度分布の状態になる。これを表していける。図-4と合せて考えると、隣接管の影響が10日頃から顕著になるといふのが、これは土質による温度伝播率の違いによるものと思われる。含水比の小さい部分が温度降下が速い様である。図-5、6から凍結管からある距離以内の温度分布は直線的に変化し、この距離は凍結継続時間が長くなる程、遠くなる様である。実際に凍結工法を大

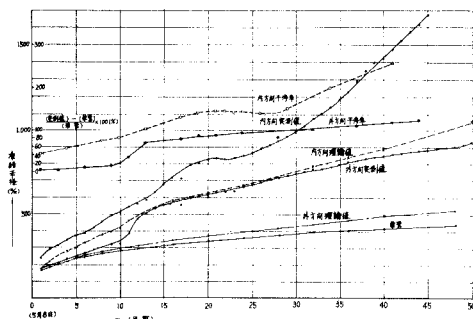


図-4 凍結面進行曲線

規模な工事に採用する場合、測温点を無数に設けることは困難である。従って地層別に必要凍土厚の確認出来る位置に温度計を設置しておき、その点の温度が氷点下になつた後凍結面は、凍結管(ブライン)温度と測定値との比例で推定してもよい様に思われる。

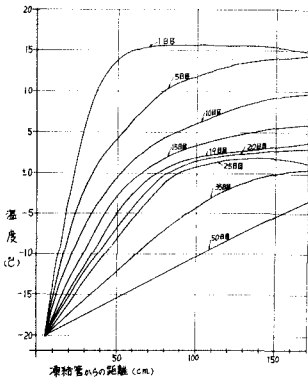


図-5 A(内)方向温度分布図

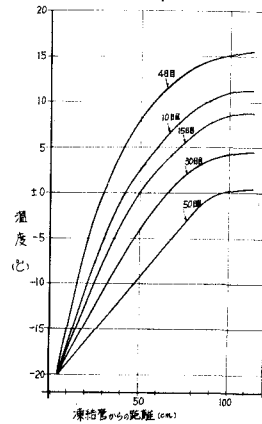


図-6 B(外)方向温度分布図

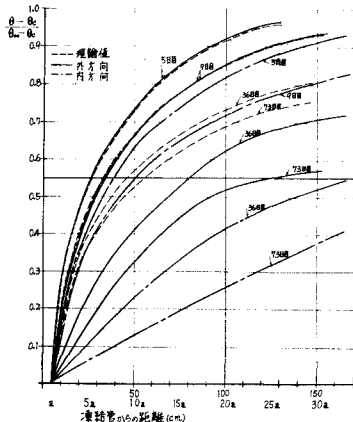


図-7 温度分布の理論値と実測値の比較

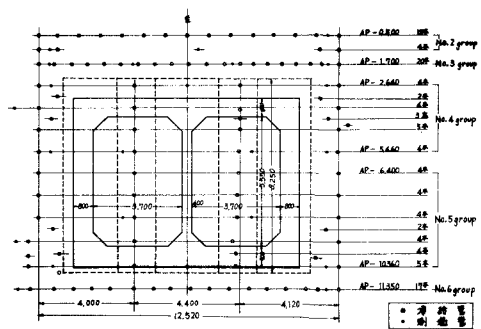


図-8 本工事に於ける凍結管、測温管の配置図

(地下鉄工事について)

当金沢工区に於いては、凍土壁を外力に抵抗せらる考えなので、凍土壁の成長状況等を適確に把握する必要がある。試験凍結の結果、このためには測温点を地層の変化に応じて設ける必要を認めたので、図-8 の如く約100点の測温点を設けた。この測温点の測定結果から各点の温度が0℃となるまでの時間の遅速を、理論値及び試験凍結の結果との比較が下の表である。

測温点番号	A	又	ル	オ	フ	カ	ヨ	予-5	予-6	J	K	L	M	N	O	P	予-5	予-6	予-7
凍結までの日数	12	13	4	9	8	6	49	11	13	8	11	6	12	12	(-2)	49	61	68	
実凍結面	600	700	500	500	500	500	250	275	450	500	500	600	500	500	1,000	260	500	500	
单管理論値	360	370	200	330	325	300	600	350	370	325	350	300	360	360	600	650	620		
干渉を考えた値	460	480	270	405	390	340	960	420	480	390	420	340	460	460		960			
試験凍結の結果	580	620	390	501	480	430		560	620	480	560	430	580	580					

この表から、No. 4, 5 グループの内側（構築方）への凍結は理論値と同じか、それより速く進んでいる。然し、No. 6 グループでは、单管の理論値よりも大きく遅れている。これは地下水の局部的流动によるものと考えられる。これら温度降下の良くない個所から漏水がある。そこで、これを薬液注入（L.W. C.W.）して止水したら、凍結は急激に進行した。

次に、外側への凍結進行状況をみると、P が極めて早く凍結しているが、これは河底に設置した断熱凍結板の影響によるもので、平板冷却による理論計算値とよく合致する。他の点は、单管の理論値と同じか、やゝ遅い程度である。これだけ多くの凍結管を配置してあるのだから、干渉がかなりあるはずである。この事を考えると外側への凍結の進行は遅れていることになる。これは、凍土壁の外面に沿って、地下水が豊坑へ流動（浸透）したためであろう。温度の降下が思わしくない所は、この附近に漏水があり、これに薬液を注入したら、

やはり、温度の降下が認められた。この関係を図-9 に示す。温度分布についてみると、No.3 グループまでは、左岸の方か右岸の方より温度降下が早い。又当然ながら、上下流の棟が中央より温度降下が遅い。これは主として地層の違い、施工の順序によるものと思われる。同一レベル、土質が同じでも、豊坑からの距離に従い温度分布が大きく変化している場合もある。（図-10）この様な状況は、凍結管設置のための水平ボーリング中に水をみたが、その場合よくみられた。これはやはり、局部的な水の動きによるものであろう。凍結工法を採用する時には、特にこの点に留意して設計することが重要である。

図-9 薬液注入後の温度降下の状況

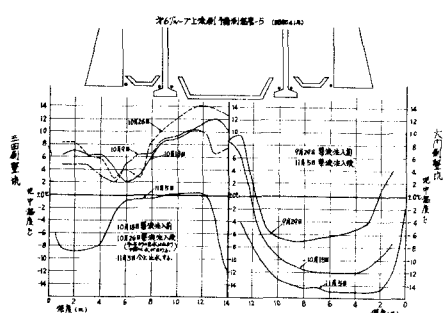
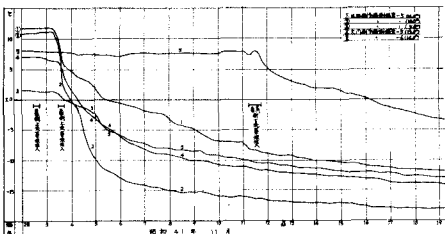


図-10 深度(豊坑からの)別温度分布図

認証試験を行う必要がある。(4) 凍結途中で水を動かすことは出来るだけ止める方が良い。(5) 地中温度の測定点の設置、測定は慎重に行う必要がある。終りに本工事の施工に努力されておられる西松建設 K.K., 精研冷機 K.K. の諸氏に謝意を表すると共に、特に本稿のために資料の整理に協力下された、精研冷機 K.K. 谷口、杉田氏に厚く御礼を申し上げます。